

## II-211 洗掘破堤の機構と危険度評価指標について

金沢大学工学部 正員 辻本 哲郎

1. まえがき 破堤例のうち洗掘を最支配原因とするものは10%程度ではあるが、側岸侵食や洗掘による堤防の部分的欠壊（あるいは護岸災害）や、洗掘進行途上で水防活動を実施して破堤を免れたもの、洗掘の進行が他の要因（越流・漏水）による破堤のきっかけとなる例は相当多く、洗掘破堤の機構に対する研究もとづいて洗掘破堤の危険度を評価すること、洗掘防止工を確立することは重要な緊急の河川工学上の問題と言える。本研究ではまず「堤防の洗掘災害の事例」にもとづいて被災形態を分類、その主たる機構を抽出して、基礎実験を始めとする基礎的研究を得られた知見をもとに洗掘破堤危険度指標を探る。

2. 洗掘破堤の形態と機構 堤防の洗掘災害の事例調査より、洗掘破堤の形態はその機構により、(i)側岸侵食型と(ii)堤脚部深掘れ型の2つにまず大別され（図1）、それそれについて土砂の不均衡の様式やそれを産み出す要因によっていくつかに分類できる。

- (i) 側岸侵食型
  - ・側岸部で護岸辺に沿う流砂の非平衡に起因するもの
  - ・側岸部で横断方向の流砂の不均衡の卓越に起因するもの
    - 1次元的…護岸の不連続、断面凹縮部
    - 2次元的…流れの偏り（河道の屈曲、彎曲、中間模河床形態による流水蛇行、河川構造物の影響など）

- (ii) 堤脚部深掘れ型
  - ・1次元河床変動 …… 堤下流などの河床低下
  - ・3次元河床変動（2次流の効果） …… 河道の彎曲、中間模河床形態、構造物などによる流れの彎曲に起因する2次流によるもの、構造物周辺の局所洗掘など。

(i)は主として護岸などによって被覆されていない堤防について、(ii)は堤防表面が護岸によって被覆されている場合護岸の根入れ以上に河床低下・洗掘が進むことにより、堤体材料のぬけ出しという形で堤体の欠損、欠壊が進行する。いわゆる場合もこれらが進行により堤体の安定性や漏水に対する抵抗が低下し、他の要因による災害も複合し易くなる。議論を複雑にしていため、ここでは複合様式は考えず、それらの代表機構を探ることとする。

3. 河岸・堤防の表法面浸食 (i)の形態はいわゆる側岸侵食<sup>2)</sup>、その素過程である側岸に沿う土砂の流逝過程については著者も基礎的研究を行っていいる<sup>1)</sup>。とくに重要な量は側岸土砂の pick-up rate ( $P_s$ )<sup>2)</sup>、側岸における掃流力( $C$ )、横断勾配( $\theta$ )、流れの偏倚角( $\gamma$ )に対して各を推定する式を得ている<sup>1)</sup>。 $P_s = \psi_p(C, \theta, \gamma) \dots (1)$  但し  $P_s = P_s / d / (1/P - 1)^{1/2}$ ,  $C = C / (1 - P) g d$  である。一方、側岸に沿う掃流力分布の式<sup>1)</sup>近似式は  $C = Pgh I \cos \theta \dots (2)$  あり、水際の存在やとの潤滑方向に沿う変化は潤滑方向の流砂の非平衡を産み出している。いま、側岸勾配( $\theta$ )を一定とし、また横断( $X$ )方向に一様を場を想える。掃流運動に固有の非平衡性 (step length の分布)によ

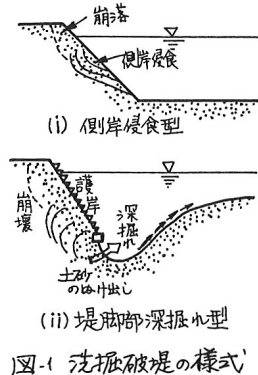


図-1 洗掘破堤の様式

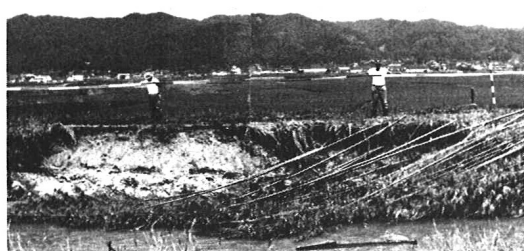


写真-1 堤防表面での側岸侵食の進行 (石川県え江川)

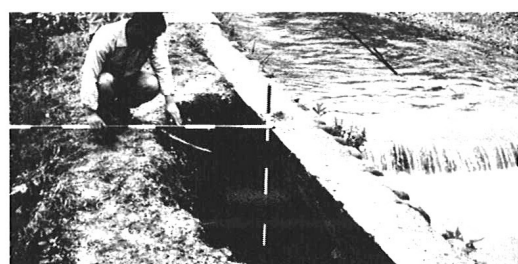


写真-2 護岸裏の堤体材料のぬけ出し (石川県え江川)

をもたらさるもの)を無視したときの潮流( $\phi$ )方向の流砂の連続式は、 $(1-\rho_0)dZ*/dt* = K_B \lambda \cdot f(\beta_* \Psi) / \partial Z^*$  ……(3)と書ける。 $\rho_0$ : 砂の空隙率,  $K_B \approx 0.5$ ,  $Z^* = Z/d$ ,  $\lambda$ : 側岸に垂直な方向の侵食深さ,  $t_* = t/\sqrt{(1/\rho - 1)g/d}$ ,  $\beta_* = \rho/d$ ,  $\lambda = 1/d$ ,  $\lambda$ : 平均 step length,  $\Psi \equiv \tan \phi$ ,  $\phi$ : 側岸における流砂の運動方向である。潮流の偏倚角  $\theta$ , 檻歛勾配  $\theta$  が大きくないとき,  $\Psi = (B \tan \theta)^{-1} + \tan \theta$  ……(4) (但し  $B = \sqrt{2A_3/(A_2 \mu_d C_D)}$ ,  $A_3$ : 動摩擦係数,  $A_2 = U_b/U_c$ ) と近似的に求められ, 式(3)をもとに  $(dZ^*/dt^*)$  の關係を知ることができ <sup>3)</sup> (図-2)。θが一定のとき, 式(2)を用いると  $Z^*$  と  $\Psi$  の解型に結び付けており, 潮流に沿って側岸侵食深度の最大と最小位置が決まる。θ方向に非一様な場合でも潮流方向のせん断応力分布はほぼ相似と考えられる ( $\eta/\eta_0$ ) max を与える潮流方向位置は式(4)より推定でき, 護岸の施工, 水防活動の実施に有益な情報を与える。なおこの位置での堤体幅  $B_C$  が侵食進行に対する堤防の抵抗指標と考えよいたう。

さて, 檻歛方向に土砂の不均衡を生じる例として, 側岸における(代表)潮流力  $Z_b$  が  $\theta$  方向に著しく変化している例を考える。このとき, 側岸侵食量(の代表値)  $Y_B$  (=  $U_b d Y_B / dt$ ) は、一次元の流砂の連続式より,  $(1-\rho_0)dY_B/dt = (A_3/A_2)\lambda d(\partial \beta / \partial Z^*)(\partial Z^*/\partial X)$  ……(5) が得られる。  $Z_b$  については堤防沿いの代表流速  $U_b$  を詳説すると,  $Z_b/C_0 = (U_b/L_b)^2 (h_0/h)^{1/3} \cos \theta$  ……(6) で目安値を知られる。なお添字 0 は流域中央での値を示す。弯曲部においては河床底流路ではすべりや渦割湯型に遷移することから, 研究・河川までの流れ特性を行いつつ最も単純には正弦波状に近似された河床形状の上の2次元導K流モデルを解くことにより ( $L_b/L$ ) の根拠を知ることができる。前者については,  $R$  を曲率半径とし  $L_b/L_b = 1 + \frac{R}{2R}$  (外岸側, B: 流路幅), 後者については  $L_b/L_b = 1 + r_u \frac{H}{2} \sin(2\pi x/L - \phi_u)$  但し,  $H, L$ : 研究の波高, 波長,  $r_u = \sqrt{R^2 + R_u^2}$ ,  $\sin \phi_u = R_u/r_u$ ,  $\cos \phi_u = R_u/r_u$ ,  $\beta_u = (M_1 M_3 + M_2 M_4)/(M_1^2 + M_2^2)$ ,  $R_u = (M_1 M_4 - M_2 M_3)/(M_1^2 + M_2^2)$ ,  $M_1 = K_b^2 T_0 \{1 - \frac{1}{3} Fr^2 + 2(\frac{L}{R})^2\}$ ,  $M_2 = Fr^2 K_b^2 \{1 - Fr^2 + (\frac{L}{R})^2\} + \frac{10}{3} K_b T_0$ ,  $M_3 = K_b^2 T_0 \{1 - \frac{1}{3} (\frac{L}{R})^2\}$ ,  $M_4 = K_b^2 Fr^2$ ,  $K_b = 2\pi h_0/L$ ,  $L = \frac{\pi}{\beta}$  である。なお河床形状の正弦波からのずれによる位相差  $\phi$  に注意する必要がある。このようにして侵食速度  $E_B = dY_B/dt$  が評価されると, 洪水の時間スケールを下として次の破堤危険度評価指標を定義することができる。  $D_p = T_F E_B / B_C$  ……(7)

4. 堤脚部近傍の深掘れ とくに蛇行や弯曲部など流れが弯曲しているところでは2次流の効果が著しく, 3次元的で河床変動により堤脚近傍で深掘れを生じることが多い。昭和57年出水時の淀川下流部の一洪水河床変動の調査でても平均河床高の変化と最高河床高の変化が一対一に対応しないことが認められ, 3次元河床変動解析の重要性が指摘されるとともに解析方法が検討された。<sup>4)</sup> とくに横歛方向の流れから, 2次流によつてもたらされる上面流向の偏倚, 檻歛河床勾配による重力作用の複合作用ここで決定され, これが3次元河床変動に寄与していることが注目される。2次元浅水流モデルたゞではこのうちの上面流れの平均流れからのずれ(表面流との相違)が明確でなく, 2次流の考慮は必須である。淀川については前報<sup>4)</sup>で上面流れを模型実験で与えていたが, 池田<sup>5)</sup>の方法を次のように適用し得ることか(実験結果と計算結果の比較による)確認された。  $\tan \gamma = \left( \frac{1}{R_0} \right) \{ F_A(S_0) - \frac{1}{2} \frac{C}{\rho g} F_B(S_0) \} / (K_C H^2 + L_0 S_0 + 1)$  ……(8) 但し,  $F_A(S) = -15(5 \ln S - \frac{1}{2} S^2 + \frac{5}{8})$ ,  $F_B(S) = \frac{15}{2} + S^2(5 \ln S - \ln 5 + \frac{1}{2}) - \frac{15}{8}$ ,  $C$ : Chezy係数,  $S \equiv z/h$ ,  $S_0$ : 河床近傍でのみの値である。  $\tan \gamma$  が知られれば式(4)により  $\Psi = \tan \phi$  が知られ, とくに堤防に近いX×Y上における流砂の連続式に上記の項目を考慮し, 堤脚周辺の深掘れ進行速度は次式で求められる。  $E_Z = \frac{dZ}{dt} = \frac{1}{1-\rho_0} \left\{ \frac{298}{27} \frac{\partial \Gamma}{\partial X} + P_B \left( \frac{\partial \Gamma}{\partial Y} + \frac{B}{L_B} \frac{\partial \Psi}{\partial Y} \right) \right\}$  ……(9) 但し,  $P_B$ : 河床ごとの流砂量,  $\Gamma = \tan \gamma$ ,  $\Psi = \tan \phi$  である。堤脚部深掘れ型の破堤に対する抵抗指標は護岸の根入れ深さ(現河床から)とを考え外し, 破堤危険度評価指標とて次式を定義するのが適当と考えられる。  $D_s = E_Z T_F / L_B$  ……(10)

5. あとがき 災害現象は上述のように単純化された基礎土砂水理学的アプローチからたゞで決して言及されるものではないが, かといつてこうしたアプローチを避け单に因子分析などの方法のみに頼るもの適切なアプローチとは言えない。今後こうした法アプローチの接点を見出す方向に研究・調査を進めてゆきたい。

<参考文献> 1) 中川・辻本・村上: 第29回水講, 1985. 2) Nakagawa, Tsujimoto & Murakami: Proc. 3rd ISRS, 1986.

3) 福岡・山城: 第27回水講, 1983. 4) 中川・辻本・村上・清水: 第4回自然災害科学会, 1985. 5) 池田: 土論 229, 1974.

